

3N Freiheitsgrade:
($n = 1, \dots, 3N$)

$$x = (x_1, x_2, x_3, \dots, x_{3N-2}, x_{3N-1}, x_{3N})$$

R Zwangsbedingungen:

$$g_\alpha(x, t) = 0, \quad (\text{definiert } \mathbb{R} \text{ Hyperfl\u00e4chen}) \quad (1)$$

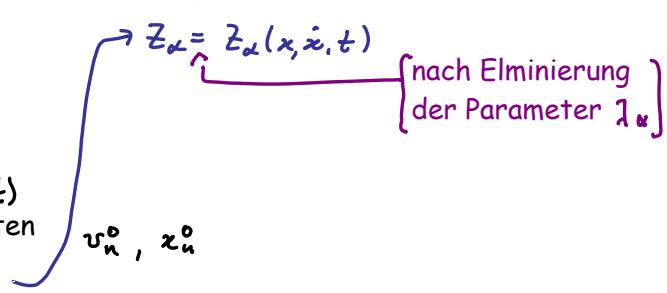
Ansatz f\u00fcr Zwangskraft
(in \hat{e}_n -Richtung):
($n = 1, \dots, 3N$,
 $\alpha = 1, \dots, R$)

$$Z_\alpha^n = \lambda_\alpha(t) \frac{\partial}{\partial x_n} g_\alpha(x, t) \perp (HF)_\alpha \quad (2)$$

(9.2) eingesetzt in N2:

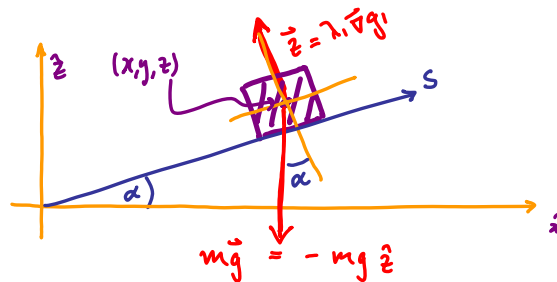
$$m_n \ddot{x}_n = K_n + \lambda_\alpha(t) \frac{\partial}{\partial x_n} g_\alpha(x, t), \quad n = 1, \dots, 3N \quad (3)$$

1. Formulierung der ZB
2. Aufstellung der LG1
3. Eliminierung der λ_α
4. L\u00f6sung der Bewegungsgl. f\u00fcr $x_n(t)$
5. Bestimmung der Integrationskonstanten
6. Bestimmung der Zwangskr\u00e4fte, via v_n^0, x_n^0
7. Diskussion !!



Beispiel 1: Reibungsfreies Gleiten auf schiefer Ebene (Zusammenfassung)

Ignoriere y -Richtung,
da trivial; betrachte
nur x - z -Ebene



$$\frac{z}{x} = \frac{\sin \alpha}{\cos \alpha}$$

Schritt 1:
(Formulierung der ZB)

$$g_1(\vec{r}, t) = x \sin \alpha - z \cos \alpha = 0 \quad (1)$$

Schritt 2:
(Aufstellung der LG1)

$$m \ddot{x} = \lambda_1 \sin \alpha \quad (\lambda_1 \cdot \vec{\nabla} g_1) \quad (2a)$$

$$m \ddot{x}_n = K_n + \sum_\alpha \lambda_\alpha \frac{\partial}{\partial x_n} g_\alpha$$

$$m \ddot{z} = -mg - \lambda_1 \cos \alpha \quad (2b)$$

Schritt 3:
(Elimination v. λ_α)

$$0 = \frac{d^2}{dt^2} g_1 = \ddot{x} \sin \alpha - \ddot{z} \cos \alpha \quad (3)$$

(2) eingesetzt in (3):

$$\lambda_1 = -mg \cos \alpha \quad (4)$$

(20.4) in (20.2):

(Nun ist λ_1 eliminiert)

Schritt 4 und 5:

(Lösen der Bewegungs-Gl. für x_u ,

Berücksichtigung der Anfangsbedingung)

Schritt 6:

(Bestimmung der Zwangskraft)

$$(z_i^n = \lambda, \partial u q_i)$$

Schritt 7:

(Diskussion)

$$\begin{aligned} m \ddot{x} &= -m \tilde{g} \cos \alpha \\ m \ddot{z} &= -m \tilde{g} \sin \alpha \end{aligned}$$

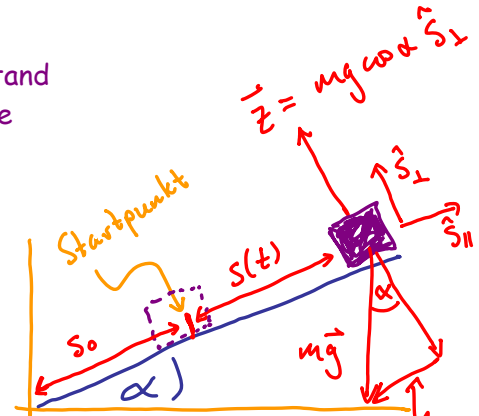
$$\tilde{g} = g \sin \alpha \quad (1)$$

effektives g

$$\begin{aligned} x(t) &= s(t) \cos \alpha \\ z(t) &= s(t) \sin \alpha \end{aligned} \quad \left. \begin{array}{l} \text{mit } s(t) = -\frac{1}{2} t^2 \tilde{g} \\ + v_0 t + s_0 \end{array} \right\} \quad (2)$$

$s(t) = \left\{ \begin{array}{l} \text{zurückgelegter Abstand} \\ \text{entlang } \hat{S} \text{-Achse} \end{array} \right.$

$$\vec{z}_i = -\frac{(m\vec{g} \cdot \hat{S}_\perp)}{mg \cos \alpha} \hat{S}_\perp \quad (3)$$



effektive Kraft: $\vec{F}_{\text{eff}} = mg \sin \alpha \hat{S}_{\parallel}$

$s(t)$ ist "verallgemeinerte Koordinate",

d.h. ein Freiheitsgrad, der Zwangsbedingungen bereits berücksichtigt.

Die entsprechende Bewegungsgleichung ist einfach: $m \ddot{s} = -mg_{\text{eff}}$ (3)

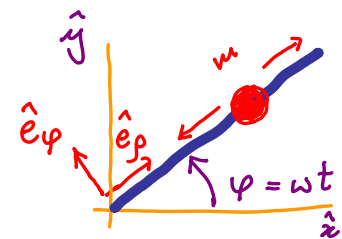
Beispiel 2: Reibungsloser Massenpunkt rotierender Stange

(zum Selbststudium; siehe Fließbach, Kapitel 8)

Schritt 1:

(Formulierung der ZB)

$$g(\varphi, t) = \varphi - \omega t = 0 \quad (1)$$



Schritt 2:

(Aufstellung der LG1)

$$m \ddot{\vec{r}} = \lambda \vec{\nabla} g \quad (2)$$

in Polarkoordinaten:

$$\begin{aligned} x &= \rho \cos \varphi \\ y &= \rho \sin \varphi \end{aligned}$$

$$\lambda \vec{\nabla} g = \lambda \left[\hat{e}_\rho \partial_\rho + \hat{e}_\varphi \frac{1}{\rho} \partial_\varphi \right] g \quad (3)$$

Gradient in Polarkoordinaten

$$\hat{e}_\rho(t) = \cos \varphi \hat{e}_x + \sin \varphi \hat{e}_y$$

$$\hat{e}_\varphi(t) = -\sin \varphi \hat{e}_x + \cos \varphi \hat{e}_y$$

$$\vec{r} = x \hat{x} + y \hat{y}$$

$$m \ddot{\vec{r}} = m \left[(\ddot{\rho} - \rho \dot{\varphi}^2) \hat{e}_\rho + (\rho \ddot{\varphi} + 2\dot{\rho} \dot{\varphi}) \hat{e}_\varphi \right] \quad (4)$$

(3), (4) in (2):

$$\text{Koeff. v. } \hat{e}_\rho : m(\ddot{\rho} - \rho \dot{\varphi}^2) = 0 \quad (5a)$$

$$\text{Koeff. v. } \hat{e}_\varphi : m(\rho \ddot{\varphi} + 2\dot{\rho} \dot{\varphi}) = \lambda / \rho \quad (5b)$$

Schritt 3:
(Elimination v. λ)

$$\frac{d^2}{dt^2} (z_B) = 0 \Rightarrow \ddot{\varphi} = 0$$

(1)

(20.1) in (19.5b):

$$\lambda = z m \rho \dot{\rho} \dot{\varphi} = \lambda(\rho, \dot{\rho}, \varphi, \dot{\varphi}, t)$$

(2)

Funktionale Abhängigkeit nun bekannt!

Bewegungsgl. aufstellen:
(2) in (22.5):

$$(22.5a) \rightarrow \cancel{m} (\ddot{\rho} - \rho \dot{\varphi}^2) = 0$$

(3a)

$$(22.5b) \rightarrow m \rho \ddot{\varphi} = 0$$

(3b)

Schritt 4 + 5:
(Lösen der Bewegungs-Gl.,
Best. d. Integrations-
konstanten):

$$(3a) : \rho(t) = 0 \quad (\text{ist triviale, instabile Lösung})$$

(4)

Für $\rho(t) \neq 0$:

$$(1) \text{ integriert: } \varphi(t) = At + B \stackrel{(1)}{=} \omega t$$

(5a)

$$A = \omega, \quad B = 0$$

(5b)

(23.5) eingesetzt in
Bwgs-Gl (23.3a):

$$\ddot{\rho} - \rho \omega^2 = 0$$

(1) L24

Lösungsansatz:

$$\rho(t) \propto e^{\kappa t} \Rightarrow (\kappa^2 - \omega^2) e^{\kappa t} = 0$$

(2)

$$\Rightarrow \kappa = \pm \omega$$

(3)

Allgemeine Lösung:

$$\rho(t) \stackrel{(2)}{=} \tilde{A} e^{\omega t} + \tilde{B} e^{-\omega t}$$

(4)

\tilde{A}, \tilde{B} sind bestimmt durch
Anfangsbedingungen:

$$\rho(0) = \tilde{A} + \tilde{B}, \quad \dot{\rho}(0) = \omega(\tilde{A} - \tilde{B})$$

(5)

Lösen nach \tilde{A}, \tilde{B}

$$\left. \begin{matrix} \tilde{A} \\ \tilde{B} \end{matrix} \right\} = \frac{1}{2} [\rho(0) \pm \dot{\rho}(0)/\omega]$$

(6)

Schritt 6:
(Bestimmung der
Zwangskräfte)

$$\vec{z} = \lambda \vec{\nabla} g \stackrel{(22.3)}{=} \hat{e}_\varphi \lambda / \rho \stackrel{(23.2)}{=} \hat{e}_\varphi z m \dot{\rho} \dot{\varphi}$$

(7)

$$\vec{z} = \hat{e}_\varphi z m \omega [\tilde{A} e^{\omega t} - \tilde{B} e^{-\omega t}] \omega$$

(8)

[ZK immer \perp zur Bewegung]

[nicht-triviale t-Abhängigkeit: $Z = Z(t)$!]

Vorausblick:

L25

Oft sind wir nicht an der genauen Form der Zwangskraft interessiert.
In solchen Fällen ist es geschickter, neue "verallgemeinerte Koordinaten" zu wählen, die die Zwangsbedingungen automatisch erfüllen, und eine Transformation von Cartesischen zu verallgemeinerten Koordinaten durchzuführen.

(1)

Aber: Newton 2 ist nicht "forminvariant" unter Transformation zu anderen Koordinatensystemen. (Das ist kein Problem an sich, aber lästig, unästhetisch).

(2)

Wünschenswert wäre eine alternative Formulierung der Newtonschen Bewegungsgleichungen, die "forminvariant" unter solchen Transformationen ist.

(3)

Satz: N2 sind äquivalent zu "Lagrange-Gl. 2. Art" (L2):

Lagrange-Funktion:

kinetische
potenzielle Energie

(4)

Satz: L2 sind forminvariant:
für verallgemeinerte Koordinaten gilt:

Im folgenden:

- Newton 2 umschreiben in Lagrange 2, in Cartesischen Koordinaten, ohne ZB

Lagrange-Gleichungen 2.ter Art (in Cartesischen Koord., ohne ZB)

L26

3N Freiheitsgrade:

$$x(t) = (x_1(t), \dots, x_{3N}(t))$$

(1)

N2 ohne ZB, mit konservativem Kraftfeld:

$$m_n \ddot{x}_n = F_n = - \frac{\partial}{\partial x_n} U(x_1, \dots, x_{3N})$$

$n=1, \dots, 3N$ (2)

Linke Seite läßt sich auch schreiben als:

$$\frac{d}{dt} \left[\frac{\partial}{\partial \dot{x}_n} \left(\sum_k \frac{1}{2} m_k \dot{x}_k^2 \right) \right] \stackrel{\text{check}}{=}$$

(3)

$$\frac{\partial}{\partial \dot{x}_n} \sum_k \frac{1}{2} m_k \dot{x}_k^2 = m_n \dot{x}_n$$

(3) in (2):

$$\frac{d}{dt} \left[\frac{\partial}{\partial \dot{x}_n} \right] =$$

(4)

Def: Lagrange-Funktion:

$$L(x_1, \dots, x_{3N}; \dot{x}_1, \dots, \dot{x}_{3N})$$

(5)

Lagrange-Gl. 2. Art:

$$\frac{d}{dt} \left[\frac{\partial}{\partial \dot{x}_n} \right] \stackrel{(4)}{=} \frac{\partial}{\partial x_n}$$

"(L2)"

(6)

Vorteil: gilt auch für verallgemeinerte Koordinaten und in Gegenwart von Zwangskräften!!

Transformation zu Verallgemeinerten Koordinaten

L27

Oft lässt sich ein Problem durch geschickte Wahl neuer Koordinaten vereinfachen. Beispiele:

- Polarkoordinaten für rotationssymmetrisches Problem in 2D;
- Zylinderkoordinaten für zylindersymmetrisches Problem in 3D;
- Kugelkoordinaten für rotationssymmetrisches Problem in 3D;
- falls Zwangsbedingung (ZB) vorhanden, durch Koordinaten, welche ZB automatisch erfüllen.

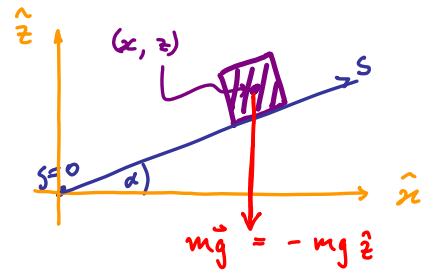
Wir betrachten folglich Transformation von Cartesischen zu "verallgemeinerten Koordinaten".

$$\mathbf{x} = (x_1, \dots, x_{3N}) \rightarrow \mathbf{q} = (q_1, \dots, q_f)$$

Beispiel 2: Schiefe Ebene

Entlang Ebene gilt:
 $x_1 = x, x_2 = z$

$$\begin{aligned} x &= s \cos \alpha \\ z &= s \sin \alpha \end{aligned} \quad (\alpha = \text{fest}) \quad (1)$$



Verallgemeinerte Koord:

$$q_1 = s$$

Geschwindigkeiten:

$$\dot{x}_n = \frac{dx_n}{dt}, \quad \dot{s} = \frac{ds}{dt}$$

$$\begin{aligned} \dot{x} &= \dot{s} \cos \alpha \\ \dot{z} &= \dot{s} \sin \alpha \end{aligned} \quad \dot{x}^2 + \dot{z}^2 = \dot{s}^2 \quad (2)$$

Kinetische Energie:

$$T(x, y) = \frac{1}{2} m (\dot{x}^2 + \dot{z}^2) = \quad (3) \quad \text{L28}$$

Potenzielle Energie:

$$U(x, z) = m g z = \quad (4)$$

Lagrange-Funktion:

$$L = T - U = \quad (5)$$

Behauptung:

L2 gilt auch für verallg. Koordinaten (Satz 25.4)
 (haben wir noch nicht gezeigt, wollen es zunächst illustrieren)

$$(L2) \text{ für } q_1 = s: \quad \frac{d}{dt} \left[\quad \right] = \quad (6)$$

Gewünschte Bewegungsgl.
 für verallgemeinerte Koord:

$$= \quad (7)$$



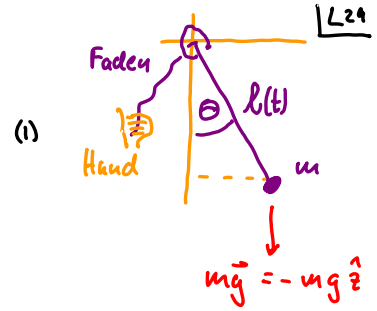
Lösung:

$$s(t) = -\frac{1}{2} \ddot{s} t^2 + \dot{s}_0 t + s_0 = (21.2) \quad (8)$$

Beispiel 2: Ebenes Pendel

$x_1 = x, x_2 = z$

$x = l \sin \theta$
 $z = -l \cos \theta$ [Länge $l(t)$ sei vorgegeben]



Verallgemeinerte Koord:

$q_1 =$

Geschwindigkeiten:

$\dot{x}_n = \frac{dx_n}{dt}$

$\dot{s} = \frac{ds}{dt}, \dot{\theta} = \frac{d\theta}{dt}$

$\dot{x} =$

(2a)

$\dot{z} =$

(2b)

$\dot{x}^2 + \dot{z}^2 = (\dot{l}^2 \sin^2 \theta + 2\dot{l} \sin \theta l \omega \dot{\theta} + l^2 \omega^2 \dot{\theta}^2) + (\dot{l}^2 \cos^2 \theta - 2\dot{l} \cos \theta l \omega \dot{\theta} + l^2 \sin^2 \theta \dot{\theta}^2)$

(3)

Kinetische Energie:

$T(x, z) = \frac{1}{2} m (\dot{x}^2 + \dot{z}^2)$ (3)

(4)

Potenzielle Energie:

$U(x, z) =$

L30 (1)

Lagrange-Funktion:

$L = T - U = \frac{1}{2} m (\dot{l}^2 + l^2 \dot{\theta}^2) + mgl \cos \theta$ (1)

(2)

Behauptung:

L2 gilt auch für verallg. Koordinaten (Satz 25.4) (haben wir noch nicht gezeigt, wollen es zunächst illustrieren)

L2 für $q_1 = \theta$:

$\frac{d}{dt} [] =$

(3)

[keine L2 für l , da $l(t)$ vorgegebene Funktion ist]

(2) =

(4)

Gewünschte Bewegungsgl. für verallgemeinerte Koord:

$= -gl \sin \theta$ [Gl. für $\theta(t)$; $l(t)$ ist vorgegeben] (5)

(5)

Für Pendel mit fester

Länge: $l =$, $\dot{l} =$

=

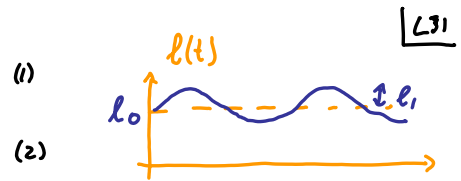
für kleine Auslenkungen.

[= bekannte Pendelgleichung] (6)

(6)

Betrachte Pendel mit
zeitlich oszillierender
Länge:

Sei $l(t) =$
 $\dot{l}(t) =$



(2) in (3)

$$2 \underbrace{l_0}_{l} (1 + \epsilon \sin \omega t) \underbrace{\dot{\epsilon}}_{\dot{\epsilon}} \omega \cos \omega t \dot{\theta} + \underbrace{\frac{2}{l_0}}_{\frac{2}{l}} (1 + \epsilon \sin \omega t)^2 \ddot{\theta} + g \underbrace{l_0}_{l} (1 + \epsilon \sin \omega t) \sin \theta = 0$$

Für kleine Auslenkungen: $\sin \theta \approx \theta$ (2)

*** Für $\theta \ll 1$ und $\epsilon \ll 1$ lässt sich Lösung $\theta(t)$ mittels Störungstheorie finden:

Ansatz: $\theta(t) =$ (Entwicklung in ϵ) (4)

(4) in (3):
Terme $\sim \epsilon^0$: $\ddot{\theta}_0 + \frac{g}{l_0} \theta_0 = 0$ [harmonischer Oszillator mit Frequenz $\omega_0 = \sqrt{g/l_0}$] (5)

Terme $\sim \epsilon^1$: $\epsilon \left[\omega (\cos \omega t) \dot{\theta}_0 + (2 (\sin \omega t) \ddot{\theta}_0 + \ddot{\theta}_1) + \frac{g}{l_0} ((\sin \omega t) \theta_0 + \theta_1) \right] = 0$ (6)

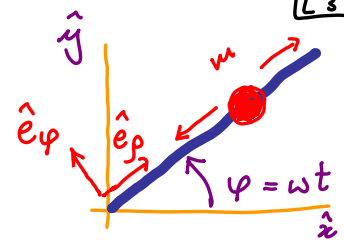
Zum selber rechnen: Bestimme $\theta_1(t)$! Hinweis: Lösung von (5) für $\theta_0(t)$ in (6) einsetzen.
 $\theta_1(t)$ ist getriebener harmonischer Oszillator!

Beispiel 3: Reibungsloser Massenpunkt rotierender Stange

L32

$x_1 = x, x_2 = y$

$x = \rho \cos \varphi$ Vorgegeben:
 $y = \rho \sin \varphi$ $\varphi =$ (1)



Verallgemeinerte Koord: $q_1 = \rho$ (2)

Geschwindigkeiten:
 $\dot{x}_i = \frac{dx_i}{dt}, \dot{q}_i = \frac{dq_i}{dt}$

$\dot{x} = \dot{\rho} \cos \varphi - \rho \sin \varphi \dot{\varphi}$
 $\dot{y} = \dot{\rho} \sin \varphi + \rho \cos \varphi \dot{\varphi}$ [analog zu (29.2)] (3)

$\dot{x}^2 + \dot{y}^2 =$ [analog zu (29.3)] (4)

Lagrange-Funktion:
Cartesischen Koord: $L(x, y; \dot{x}, \dot{y}) = T - U = \frac{1}{2} m (\dot{x}^2 + \dot{y}^2)$ (5)

in Polarkoord: $L(\rho, \dot{\rho}) =$ (6)

Vergleiche mit (30.2) - dort hatten wir $L = L(\theta, \dot{\theta})$, hier $L = L(\rho, \dot{\rho})$.

Behauptung:

Lz gilt auch für verallg. Koordinaten (Satz 25.4)
(haben wir noch nicht gezeigt, wollen es zunächst illustrieren)

$$\frac{d}{dt} \left[\frac{\partial L}{\partial \dot{q}_i} \right] - \left(\frac{\partial L}{\partial q_i} \right) = 0 \quad (25.4)$$

$$L(\rho, \dot{\rho}) \stackrel{(32.6)}{=} \frac{1}{2} m (\dot{\rho}^2 + \rho^2 \dot{\varphi}^2) \quad (1)$$

Lz für $q_1 = \rho$:

[keine Lz für φ , da $\varphi(t)$
vorgegebene Funktion ist]

$$\frac{d}{dt} [\quad] = \quad (2)$$

$$= \quad (4)$$

Gewünschte Bewegungsgl.
für verallgemeinerte Koord:

$$\boxed{=} \quad (32.1) \quad \downarrow \quad \dot{\varphi} =$$

vergleiche (23.3) (5)

Lösung:

$$\rho(t) = \tilde{A} e^{\omega t} + \tilde{B} e^{-\omega t} \quad (6)$$

\tilde{A}, \tilde{B} folgen aus Anfangsbedingungen, siehe S. 23, 24.

Beispiel 4: 2-dimensionaler harmonischer Oszillator (ohne ZB)

Potenzial:

$$U = \frac{1}{2} k(x^2 + y^2)$$

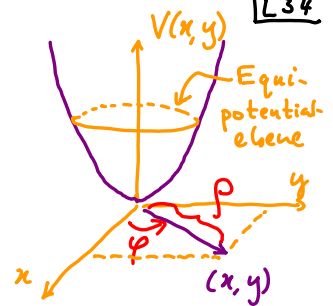
$$x_1 = x, \quad x_2 = y$$

$$q_1 = \rho, \quad q_2 = \varphi$$

$$x =$$

$$y =$$

(1)
(2a)
(2b)



Geschwindigkeiten:

$$\dot{x}_i = \frac{dx_i}{dt}, \quad \dot{q}_i = \frac{dq_i}{dt}$$

$$\dot{x} = \dot{\rho} \cos \varphi - \rho \sin \varphi \dot{\varphi}$$

$$\dot{y} = \dot{\rho} \sin \varphi + \rho \cos \varphi \dot{\varphi}$$

[analog zu (29.2)] (3)

$$\dot{x}^2 + \dot{y}^2 =$$

[analog zu (29.3)] (4)

Lagrange-Funktion:

Cartesischen Koord:

$$L(x, y; \dot{x}, \dot{y}) = T - U = \frac{1}{2} m (\dot{x}^2 + \dot{y}^2) \quad (5)$$

in Polarkoord:

$$L(\rho, \varphi; \dot{\rho}, \dot{\varphi}) = T - U = \quad (6)$$

Behauptung: L_2 gilt nicht nur für: $q_1 = x, q_2 = y$ [haben wir schon gezeigt: (26.6)] L35
 sondern auch für: $q_1 = \rho, q_2 = \varphi$ [das wollen wir jetzt für z.B. Oszillator checken!]

$$\frac{d}{dt} \left[\frac{\partial L}{\partial \dot{q}_i} \right] - \left(\frac{\partial L}{\partial q_i} \right) \stackrel{(25.4)}{=} 0$$

$$L(\rho, \varphi; \dot{\rho}, \dot{\varphi}) \stackrel{(34.6)}{=} \frac{1}{2} m (\dot{\rho}^2 + \rho^2 \dot{\varphi}^2) - \frac{1}{2} k \rho^2 \quad (1)$$

(2) für $q_i = \rho$:

$$\frac{d}{dt} \left[\right] \stackrel{(25.4)}{=} \quad (2)$$

Gewünschte Bewegungsgl. für $\ddot{\rho}$:

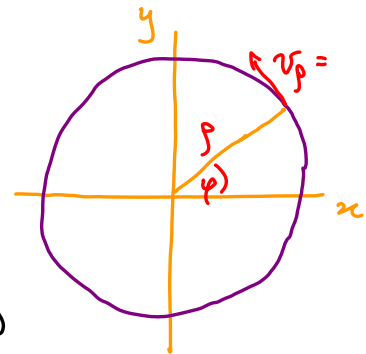
$$\stackrel{(1)}{=} \quad \left[\text{werden wir gleich checken} \right] \quad (3)$$

(2) für $q_i = \varphi$:

$$\frac{d}{dt} \left[\right] \stackrel{(25.4)}{=} \quad (4)$$

Gewünschte Bewegungsgl. für $\ddot{\varphi}$:

$$\stackrel{(1)}{=} \quad (5)$$



Drehimpulserhaltung!!

Check (33.3) mittels N_z :

N_z , Cartesisch:

$$U(x, y) \stackrel{(27.1)}{=} \frac{1}{2} k (x^2 + y^2)$$

$$m \ddot{x} = F_x = - \frac{\partial U}{\partial x} \stackrel{(34.1)}{=} \stackrel{(34.2)}{=} \quad (1a)$$

$$m \ddot{y} = F_y = - \frac{\partial U}{\partial y} \stackrel{(34.1)}{=} \stackrel{(34.2)}{=} \quad (1b)$$

Transformiere \ddot{x}, \ddot{y}

nach Polarkoord:

~~~~~

"selber Nachrechnen!"

$$\ddot{x} \stackrel{(34.3)}{=} \ddot{\rho} \cos \varphi - 2 \dot{\rho} (\sin \varphi) \dot{\varphi} + \rho (\cos \varphi) \dot{\varphi}^2 - \rho (\sin \varphi) \ddot{\varphi} \quad (2a)$$

$$\ddot{y} \stackrel{(34.3)}{=} \ddot{\rho} \sin \varphi + 2 \dot{\rho} (\cos \varphi) \dot{\varphi} - \rho (\sin \varphi) \dot{\varphi}^2 + \rho (\cos \varphi) \ddot{\varphi} \quad (2b)$$

$$\text{(mittels } \cos^2 \varphi + \sin^2 \varphi = 1) \quad (1a) \quad (2c) \quad (3a)$$

Hieraus folgt:

$$m (\cos \varphi \ddot{x} + \sin \varphi \ddot{y}) = \begin{matrix} \xrightarrow{(2)} \\ \xrightarrow{(1)} \end{matrix} \quad \begin{matrix} \text{(einerseits)} \\ \text{(andererseits)} \end{matrix} \quad (3b)$$

Es gilt also:

$$m (\ddot{\rho} - \rho \dot{\varphi}^2) = -k \rho \quad \text{und NICHT } m \ddot{\rho} = F_\rho \quad (4)$$

bestätigt (35.3) ✓

Fazit: Bewegungsgleichung  $N_z$  ist nicht Forminvariant unter Transformation zu Polarkoord. !!